

重偶偶核的 α 结团现象与集体 激发的统一描述¹⁾

吴华川

(苏州大学)

摘要

本文建立了统一描述重偶偶核的四极集体运动、 α 结团和八极振动的代数模型 $U(6) \times U(11)$, 给出了该模型的三种动力学对称性: $SU(5)$ 、 $SU(3)$ 和 $SO(6)$. 计算了 $SU(5)$ 极限下的能谱, 并与 ^{218}Ra 核的实验数据进行了比较.

一、引言

轻核的 α 结团现象已得到公认, 并从实验与理论上进行了广泛的研究^[1]. 关于重偶偶核, 亦有不少实验事实揭示了存在 α 结团现象的可能性. 例如, 钔系元素中较轻的同位素和 $50 \leq Z \leq 82, 82 \leq N \leq 126$ 主壳层中的某些偶偶核, 具有较大的基态 α 约化宽度 (W_α)^[2,3]; 钔系元素中许多核的负宇称带的带首很低, 且 α 的阻扼 (hindrance) 因子很小^[4-6]. F. Iachello 和 A. D. Jackson^[7,11] 认为 α 结团的主要激发方式为偶极激发, 并用 s^* 和 p^* 玻色子描写 α 结团激发, 从而建立了代数模型 $U(6) \times U(4)$.

我们认为, 对有 α 结团现象的重偶偶核, 八极振动的激发方式也是应当考虑的. M. Gai 等人关于 ^{218}Ra 的实验^[4]发现 $B(E1)$ 有明显增强, 这诚然是对偶极激发方式存在的有力证据; 但在同一实验中, 也观察到 $B(E3)$ 的增强, 这说明八极激发方式亦不容忽略. L. K. Peker^[8] 在 Ra 、 Th 同位素的负宇称带中发现较强的卡里奥来 (Coriolis) 偶合效应, 这也表明负宇称能带具有八极振动的性质. 因而, 在建立代数模型时, 除了用 p 玻色子描写 α 结团的偶极激发外, 还应当引进 f 玻色子来描写八极激发. 这两种玻色子均具有负宇称. 而且这两种激发方式是密切关联的: α 结团的存在可以诱导出八极形变^[4], 而要形成 α 结团, 核又要有八极形变^[9]. 虽然这两种激发方式之间密切关联的机制尚不清楚, 但从唯象角度引入 p 和 f 这两种玻色子是不无根据的 (下文中有时将 p 、 f 玻色子称为 α 结团玻色子).

前述重偶偶核基态 α 约化宽度 (W_α) 的数据^[2,3]表明, 这些 W_α 大的核处于基态时, 很可能就有 α 结团存在. 此时 α 结团自由度的运动亦应处于基态, 可用角动量为零的玻色

1) 本工作由中国科学院科学基金资助.

本文 1985 年 2 月 15 日收到.

子 s' 来描写(撇号用于区别核心的 s 玻色子). 为简单起见, 假定 α 结团只有一个. 若核心仍用 $U(6)$ 模型^[10]描述, 这样, 我们所论的重偶偶核便对应一个由 $N_T - 2$ 个(sd)玻色子和1个($s'pf$)玻色子组成的系统. 其中, $2N_T$ 为价核子总数. 应当指出, 这里的($s'pf$)玻色子是与 α 结团作为一个整体的激发相对应; 而文献[7]中 s^* 与 p^* 玻色子则与组成 α 结团的核子对相应.

纵观文献[2, 3]中 W_α 的数据, 可以看到, 铜系元素中Po、Rn、Ra、Th和U的同位素中, 凡中子数 $N > 128$ 者, W_α 均大于或 $\simeq 1$; 而且下一主壳层中Gd、Dy、Yb、Hf和Pt等同位素的 W_α 也比较大. 这表明, 在 $U(6)$ 模型^[10]三种极限及过渡区的许多核中, 均有可能存在 α 结团现象. 因此, 在建立统一描述结团现象及集体激发的代数模型时, 自然会要求将 $U(6)$ 的三个极限包括在模型的框架内. 显然, $U(6) \times U(4)$ 模型是难于做到这一点的, 而在考虑了 f 玻色子后, 上述要求就很容易得到满足.

二、 $U(6) \times U(11)$ 模型

如前所述, 所论的重偶偶核由一个 α 结团和核心组成, 这一系统的动力学性质由 $N_T - 2$ 个(sd)玻色子和一个($s'pf$)玻色子描写. ($s'pf$)玻色子有三个能级: s' (基态)和 p, f (激发态)(见图1).

在玻色子能量差别不十分大的时候, 这两种运动的对称群分别为 $U^B(6)$ 和 $U^C(11)$. (上标 B, C 分别标志与核心和结团有关的量, 下文中在不引起含混的情形下, 有时将上标略去.) 整个系统的对称群为

$$U^B(6) \times U^C(11).$$

系统有什么样的子群链所标志的动力学对称性, 取决于 $U^C(11)$ 群取何种子群链. 由引言的讨论知, α 结团的存在与八极振动密切相关, 于是我们可以进一步假定玻色子 P 和 f 的能量差比它们与 s' 玻色子的能量差要小得多. 于是可取子群链 $U^C(11) \supset U^C(10)$. 由群表示约化的规律, 我们得到 $U^B(6) \times U^C(11)$ 的三种子群链:

$$\begin{aligned} U^B(6) \times U^C(11) &\supset U^B(6) \times U^C(10) \supset \\ &\supset \left\{ \begin{array}{ll} SU^B(5) \times SU^C(5) \supset SU(5) \supset SO(5) \supset SO(3) \supset SO(2) & \text{I} \\ -SU^B(3) \times SU^C(3) \supset SU(3) \supset SO(3) \supset SO(2) & \text{II} \\ SO^B(6) \times SO^C(6) \supset SO(6) \supset SO(5) \supset SO(3) \supset SO(2) & \text{III} \end{array} \right. \end{aligned} \quad (2.1)$$

上式中, 子群 g 为 g^{B+C} 的略写.

设群算符 G^{B+C} 、 G^B 和 G^C 分别为子群 g^{B+C} 、 g^B 和 g^C 的生成元, 显然有

$$G^{B+C} = G^B + G^C. \quad (2.2)$$

文献[10]给出了所有的生成元 G^B , 因而我们只须讨论 $U^C(11)$ 群在上述三个子群链下的有关算符. 在子群链 $U^C(11) \supset U^C(10)$ 下, s' 玻色子对能级劈裂无贡献, 因而只须考虑

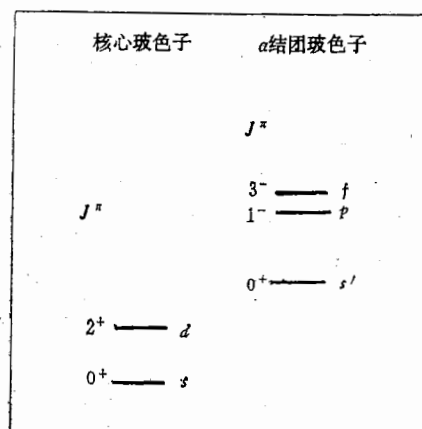


图1 玻色子能级示意图

p, f 玻色子, 并可略去上标 c .

p, f 玻色子算符为

$$\begin{array}{lll} l=1 & l=3 \\ b_{lm}^{\dagger}: & p_m^+ & f_m^+ \\ \tilde{b}_{lm}: & \tilde{p}_m & \tilde{f}_m \end{array} \quad (2.3)$$

b_{lm}^{\dagger} 在子群链 I、II、III 下的约化方式为

$$\begin{cases} \text{I} & b_{lm}^{\dagger} \sim \{1\}[0100](02)lm, \\ \text{II} & b_{lm}^{\dagger} \sim \{1\}(30)lm, \\ \text{III} & b_{lm}^{\dagger} \sim \{1\}(002)(02)lm. \end{cases} \quad (2.4)$$

其中 $U(10)$ 群的初等表示记为 $\{1\}$; 而 $SU(5), SU(3), SO(5), SO(6)$ 群的不可约表示均采用 Dynkin 记号^[12]来标记, 各子群的不可约表示标记如下:

$$\begin{array}{cccc} SU(5) & SO(6) & SO(5) & SU(3) \\ [\alpha_1\alpha_2\alpha_3\alpha_4] & (\pi_1\pi_2\pi_3) & (\sigma_1\sigma_2) & (\lambda\mu). \end{array} \quad (2.5)$$

$U(10)$ 群有 100 个生成元

$$G_{lm}^{im'} = b_{lm}^{\dagger} \tilde{b}_{lm'}^{\dagger}. \quad (2.6)$$

它们在对易下封闭, 并组成 $U(10)$ 群之伴随表示 $\{1\bar{1}\}$. 将上述算符分别按子群链 I、II、III 组成不可约张量算符, 并设其中一组张量算符 R_0 构成某一子群 g_0 之伴随表示. 由于伴随表示与根空间之相似性^[13], 算符组 R_0 即为子群 g_0 之生成元, 且在对易下封闭.

不难求得各子群链下的伴随表示为:

$$\begin{cases} \text{I} & \{1\bar{1}\} \supset [1001] \supset (02) \supset (L=1), \\ \text{II} & \{1\bar{1}\} \supset (11) \supset (L=1), \\ \text{III} & \{1\bar{1}\} \supset (011) \supset (02) \supset (L=1). \end{cases} \quad (2.7)$$

利用 I. S. F 可以方便地构造出各子群的生成元. 例如 $SO(5) (\subset SU(5))$ 群生成元为

$$\Lambda_{LM}^{(a)} = X(\{1\bar{1}\}[1001](02)LM)$$

$$= \sum_{l_1 l_2} \langle \{1\}[0100], \{1\bar{1}\}[\overline{0100}] | \{1\bar{1}\}[1001] \rangle \langle [0100](02), [\overline{0100}](\overline{02}) | [1001](02) \rangle$$

$$\langle (02)l_1, (\overline{02})l_2 | (02)L \rangle (b_{l_1 l_2}^{\dagger} \tilde{b}_{l_2}^{\dagger})_M^{(L)} \quad (L=1, 3). \quad (2.8)$$

用 Building-up 方法^[12], 不难算出所需的 I. S. F., 从而求出生成元 $\Lambda_{LM}^{(a)}$. 用这种方法得出各子群的生成算符如下:

$$\begin{array}{ccccc} SU(5) & SO(6) & SO(5) & SU(3) & SO(3) \\ \Lambda_{1M}^{(a)}, \Lambda_{3M}^{(a)} & \Lambda_{1M}^{(a)}, \Lambda_{3M}^{(a)} & \Lambda_{1M}^{(a)}, \Lambda_{3M}^{(a)} & \Lambda_{1M}^{(a)}, \Lambda_{2M}^{(a)} & (\subset SU(3)) \quad (\subset SO(5)) \\ \Lambda_{2M}^{(a)}, \Lambda_{4M}^{(a)} & \Lambda_{2M}^{(a)} & & \Lambda_{1M}^{(a)} & \Lambda_{1M}^{(a)} \\ & & & & \end{array} \quad (2.9)$$

其中,

$$\Lambda_{1M}^{(a)} = \sqrt{\frac{1}{15}} (p^+ \tilde{p})_M^{(1)} + \sqrt{\frac{14}{15}} (f^+ \tilde{f})_M^{(1)},$$

$$\Lambda_{3M}^{(a)} = \frac{\sqrt{2}}{\sqrt{5}} [(p^+ \tilde{f}) + (f^+ \tilde{p})]_M^{(3)} + \frac{1}{\sqrt{5}} (f^+ \tilde{f})_M^{(3)},$$

$$\begin{aligned}
 A_{2M}^{(b)} &= -\frac{2}{5}(p^+\tilde{p})_M^{(2)} + \sqrt{\frac{7}{50}}[(p^+\tilde{p}) + (f^+\tilde{p})]_M^{(2)} + \sqrt{\frac{14}{25}}(f^+\tilde{p})_M^{(2)}, \\
 A_{2M}^{(c)} &= \frac{\sqrt{7}}{5}(p^+\tilde{p})_M^{(2)} + \frac{\sqrt{8}}{5}[(p^+\tilde{p}) + (f^+\tilde{p})]_M^{(2)} - \frac{\sqrt{2}}{5}(f^+\tilde{p})_M^{(2)}, \\
 A_{4M}^{(c)} &= -\sqrt{\frac{2}{15}}[(p^+\tilde{p}) + (f^+\tilde{p})]_M^{(4)} + \sqrt{\frac{11}{15}}(f^+\tilde{p})_M^{(4)}, \\
 A_{1M}^{(d)} &= -\sqrt{\frac{1}{15}}(p^+\tilde{p})_M^{(1)} + \sqrt{\frac{14}{15}}(f^+\tilde{p})_M^{(1)}, \\
 A_{2M}^{(d)} &= -\sqrt{\frac{27}{125}}(p^+\tilde{p})_M^{(2)} + \sqrt{\frac{28}{125}}[(p^+\tilde{p}) + (f^+\tilde{p})]_M^{(2)} + \sqrt{\frac{42}{125}}(f^+\tilde{p})_M^{(2)}.
 \end{aligned} \tag{2.10}$$

用这些算符,可以构成各子群的 Casimir 算符。在三种子群链所描写的动力学对称性下,系统的 Hamiltonian 分别为,

$$\begin{aligned}
 H^{(I)} &= \epsilon_0 n_d + \epsilon_1 n_{pf} + \tau_1 C_{SU(5)} + \tau_2 C_{SO(5)} + \tau_3 C_{SO(3)}, \\
 H^{(II)} &= \epsilon'_1 n_{pf} + \alpha_1 C_{SU(3)} + \alpha_2 C_{SO(3)}, \\
 H^{(III)} &= \epsilon''_1 n_{pf} + \beta_1 C_{SO(6)} + \beta_2 C_{SO(5)} + \beta_3 C_{SO(3)}.
 \end{aligned} \tag{2.11}$$

上式中 n_d 、 n_{pf} 分别为 d 及 (pf) 玻色子的粒子数算符,即 $SU^B(5)$ 和 $U^C(10)$ 群的一次 Casimir 算符;而 C_g 则为子群 g 之二次 Casimir 算符。电磁跃迁算符也可由相应子群的算符构成,但应注意,正负宇称能级间的跃迁,应包括 s' 玻色子的算符。

由于在本文提出的模型中,描写动力学对称性的群链与 IBM-I^[10] 类似,因而本征态的标记也与文献 [10] 类似。

三、动力学对称性 I($SU(5)$ 极限)

下面,我们讨论 $SU(5)$ 极限下的能谱。在此极限下,本征态为

$$|n_d \ n_{pf} \ \nu \ n_\Delta \ LM\rangle.$$

按照引言中的假定,与 α 结团对应的 $(s'pf)$ 玻色子只有一个。在群链 $U^C(11) \supset U^C(10)$ 下, pf 玻色子的粒子数 n_{pf} 只能取两个值: $n_{pf} = 0$, 系统为正宇称态; $n_{pf} = 1$, 系统为负宇称态。在正宇称态下,量子数 ν 、 n_Δ 分别为 Seniority 和偶合角动量为零的三核子组的个数^[10,a];在负宇称态下,其物理含义尚不明确。

在我们的模型中包括了负宇称态且群算符远比文献 [10.a] 中的情形复杂,因而在推导能量公式时采用纯代数的方法(文献 [10.a])中利用具有明确物理意义的算符求解)。但我们将表明,关于正宇称态这两种方法给出的结果是一致的。

极限 I 下,能量公式为

$$E^{(I)} = \epsilon_0 n_d + \epsilon_1 n_{pf} + \tau_1 C_{SU(5)} + \tau_2 C_{SO(5)} + \tau_3 L(L+1), \tag{3.1}$$

其中 $C_{SU(5)}$ 和 $C_{SO(5)}$ 为相应子群的二次 Casimir 算符的本征值。由下面的讨论知,只须考虑 $[\alpha_1 \alpha_2 00]$ 型的 $SU(5)$ 表示。对这类表示和 $(\sigma_1 \sigma_2)$ 型的 $SO(5)$ 表示有^[12]

$$\begin{aligned}
 C_{SU(5)} &= 2\alpha_1^2 + 3\alpha_1\alpha_2 + 3\alpha_2^2 + 10\alpha_1 + 15\alpha_2, \\
 C_{SO(5)} &= \left(\sigma_1 + \frac{\sigma^2}{2}\right)\left(\sigma_1 + \frac{\sigma_2}{2} + 3\right) + \left(\frac{\sigma_2}{2} + 2\right)\frac{\sigma_2}{2}.
 \end{aligned} \tag{3.2}$$

正宇称情形下有

$$\alpha_1 = n_d, \alpha_2 = 0; \sigma_1 = \nu, \sigma_2 = 0.$$

于是有

$$E_{+}^{(I)} = \epsilon_0 n_d + \tau_1 (2n_d^2 + 10n_d) + \tau_2 \nu (\nu + 3) + \tau_3 L(L + 1). \quad (3.1a)$$

而文献 [10a] 给出的 $SU(5)$ 限能量公式为

$$\begin{aligned} E_{+}^{(I)}_{IBM-I} = & \epsilon n_d + \alpha \frac{1}{2} n_d(n_d - 1) + \beta(n_d - \nu)(n_d + \nu + 3) \\ & + \gamma[L(L + 1) - 6n_d]. \end{aligned}$$

这两个能量公式完全等价, 参数之间的关系为

$$2\tau_1 = \frac{1}{2}\alpha + \beta, \quad 10\tau_1 + \epsilon_0 = \epsilon - 6\gamma - \frac{1}{2}\alpha + 3\beta, \quad (3.3)$$

$$\tau_2 = -\beta, \quad \tau_3 = \gamma.$$

负宇称谱对应的 $SU(5)$ 表示, 可由 Young 图方法^{[15][14]}得到:

$$\begin{aligned} [0000]^B \times [0100]^C &= [0100], \quad (n_d = 0) \\ [1000]^B \times [0100]^C &= [1100] + [0010], \quad (n_d = 1) \\ [2000]^B \times [0100]^C &= [2100] + [1010], \quad (n_d = 2) \\ [3000]^B \times [0100]^C &= [3100] + [2010], \quad (n_d = 3). \end{aligned} \quad (3.4)$$

上式给出的能谱比较复杂, 如我们只限于讨论带首最低的一些能带, 则对每个 n_d 值, 只须讨论 (3.4) 式中等号右边的第一个表示(即 $\alpha_1 = n_d, \alpha_2 = 1$)。类似地, 在约化为 $SO(5)$ 表示时, 也只须考虑 $\sigma_1 = n_d, \sigma_2 = 2$ 的表示, 即只须考虑下述 $SO(5)$ 表示

$$n_d = 0 \quad 1 \quad 2 \quad 3 \dots$$

$$SO(5) \text{ 表示 } (02) \quad (12) \quad (22) \quad (32) \dots$$

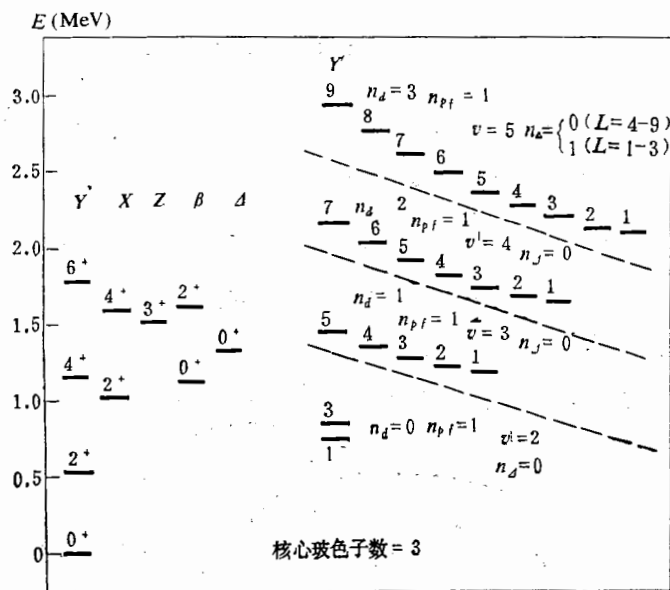
(这些表示分别对应文献[14]中的记号 (11), (21), (31), (41), ...). 负宇称谱的能量公式为

$$\begin{aligned} E^{(I)} = & \epsilon_0 n_d + \epsilon_1 + \tau_1 (2n_d^2 + 13n_d + 18) + \tau_2 (n_d^2 + 5n_d + 7) \\ & + \tau_3 L(L + 1). \end{aligned} \quad (3.1b)$$

图 2 为核心玻色子数为 3 时的正负宇称能谱。为了与 $U(6)$ 模型^[10.a]的结果对照, 适当选取 $\epsilon_0, \tau_1, \tau_2, \tau_3$, 使正宇称谱与文献 [10.a] 图 2 的能谱中 $|L| \leq 6$ 的能级完全相同。适当选取唯一的附加参数 ϵ_1 , 便得到负宇称谱。在负宇称谱(图 2)中, 略去了 $SO(5)$ 表示 (32)、(22) 约化时重复的角动量。在 (02) 表示约化时, 因 1^- 态是负宇称谱的最低态, 因而归入 Y' 带。这样 Y' 带就显示了一个突出的特点: 带内相邻能级的间距 ΔE 基本相近, 唯独 $\Delta E_0 = E_{3-} - E_{1-}$ 特别小。这是因为, ΔE 大体等于一个 s 玻色子和一个 d 玻色子能量差, 而 ΔE_0 则与 p 玻色子和 f 玻色子的能量差相当; 在子群链 I 的情形下后者显然应当比前者小。

α 结团由一对中子和一对质子组成, 这样核心玻色子数就要比不存在 α 结团时少 2。因而正宇称谱的 L_{\max}^+ 也比 IBM-I 给出的相应值小 4。

^{218}Ra 核的基本 α 约化宽度 W_α 特别大, 存在 α 结团的可能性也非常大^[19]。M. Gai 等人给出的 ^{218}Ra 能谱^[4], 为检验理论提供了很好的机会。从能级分布看, 能谱具有典型振动

图 2 $SU(5)$ 极限能谱(核心玻色子数为 3)

正负字称能级用同一组参数算出,这些参数是: $\epsilon_0 = 571 \text{ keV}$ $\tau_1 = -3.15 \text{ keV}$
 $\tau_2 = -12.5 \text{ keV}$ $\tau_3 = 9.62 \text{ keV}$ $\epsilon_1 = 750 \text{ keV}$.

图中正字称能级与文献 [10.a] 图 2 的 $n_d \leq 3$ 的能级相同。

谱的特征。因而在用代数模型 $U(6) \times U(11)$ 统一描写集体激发和 α 结团态时, 应取 $SU(5)$ 极限。 ^{218}Ra 在形成一个 α 结团后, 核心玻色子数为 3, 其能谱与图 2 中的谱相似。

对带首最低的正、负字称带理论计算与实验数据的对照见图 3。

总的符合是定性的。尽管参数比 IBM-I^[10.a] 多了一个,但注意到下面两点:

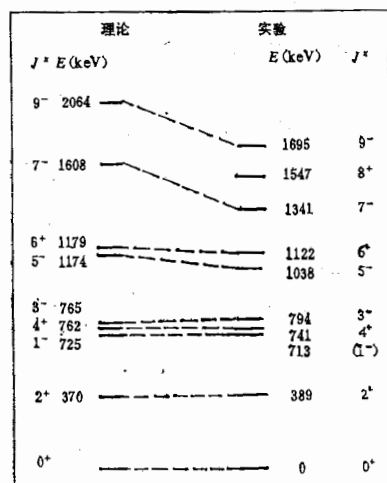
i) 由统一的能量公式和参数同时解释了正负字称能谱;

ii) 负字称谱的实验数据

$$\Delta E_0^{\exp} = E_{3-} - E_{1-} = 81 \text{ keV},$$

大大小于其他相邻能级间距 ΔE^{\exp} , 与理论预言相符。

图 3 中偏差主要存在于负字称态: 相邻能级差 ΔE 的理论值与正字称态的相应值接近, 而其实验值较小, 且有随角动量增大而上升的趋势(具有一定的转动特征)。要克服此偏差并不困难, 只要加一个由 $U^c(10)$ 和 $SO(3)$ 群 Casimir 算符乘积做成的微扰项就可以, 因为这一微扰项将只影响负字称能谱。而且, 这种微扰项可以看成负字称态具有一定转动

图 3 ^{218}Ra 能谱

实验数据取自文献 [4]。参数如下:

$$\tau_1 = -1.2 \text{ keV} \quad \tau_2 = -2 \text{ keV} \quad \tau_3 = 4 \text{ keV}$$

$$\epsilon_0 = 368.4 \text{ keV} \quad \epsilon_1 = 752.6 \text{ keV}$$

图中只给出 Y_- 和 Y'_- 能带(见图 2)。

特征的反映(α 结团的存在诱导出核形变)。

四、讨 论

1. $U(6) \times U(11)$ 模型与 $U(6) \times U(4)$ 模型^[7]的区别主要是：

i) 在 $U(6) \times U(11)$ 模型中，考虑了八极振动自由度，而且它能给出与 IBM-I^[10]三个极限相应的三种动力学对称性，因而在物理上与数学上均比 $U(6) \times U(4)$ 模型有改进。在锕系元素中，属 IBM-I 的 $SU(5)$ 极限和 $SU(3)$ 极限及过渡区的核中，存在 α 结团的可能性是很大的。但值得研究的是，属 IBM-I 的 $SO(6)$ 极限及过渡区的 Pt 同位素，一方面 W_α 大，另一方面 $K^* = 0^-$ 带的带头很高，因而在这些核内是否有 α 结团尚属疑问。在解释 ^{218}Ra 能谱时， $U(6) \times U(11)$ 模型显示了它的优点：给出了 $SU(5)$ 限下能量的解析表达式；而 $U(6) \times U(4)$ 模型只能利用数值计算来拟合^[16,17]。

ii) 在 $U(6) \times U(11)$ 模型中， α 结团玻色子描写的是 α 结团作为一个整体的激发，因而在考虑 α 结团的微观基础时，负宇称玻色子(p_f)既可以由不同主壳层的核子组成，也可以由同一主壳层的核子组成；而 $U(6) \times U(4)$ 模型中， s^* 与 p^* 玻色子仍与核子相对应， p^* 玻色子只能由不同主壳层的同种核子生成^[17]。

2. 形成 α 结团后，核心的(sd)玻色子减少 2 个，因而 Cutoff 效应更加明显。这种困难是可以通过引入角动量为 4 的(核心) g 玻色子部分地克服的^[18]。

3. 本文的模型对所有的态均认为存在一个 α 结团，这是一个十分简化的假设。实际上，存在着 0α 、 1α 、 2α ……多种组态混合。考虑到所论重偶偶核中 α 结团存在的几率很大，但多 α 结团的激发能又较高，因而 1α 组态占优势，故上述假设具有相当的合理性。当然，要进一步改进理论与实际的符合，就需要考虑组态混合。

4. 由引言的分析知，八极振动与 α 结团的形成有十分密切的关系；正是根据这种关系我们把这两种激发方式统一起来，作为 ($s'pf$) 玻色子的不同状态。 ^{218}Ra 能谱中，

$$\Delta E_0 = E_{3-} - E_{1-}$$

远比其他 ΔE 小，说明 p 玻色子与 f 玻色子能量十分相近。若这种情况被证明普遍存在于 $SU(5)$ 限的核能谱中，则是对上述这种“统一”的支持。当然，最彻底的办法是要从微观上找出这两种激发方式联系的机制。此外，电磁跃迁方面的研究也有待进行。

作者对与周孝谦先生的有益讨论和 A. D. Jackson 的建议表示感谢。

参 考 文 献

- [1] A. Arima et al.: "Advances in Nuclear Physics", Vol. 5, (Plenum, New York, 1972).
- [2] E. Roeckl, *Nucl. Phys.*, A400(1983), 131c.
- [3] P. Hornshjø et al., *Nucl. Phys.*, A230(1974), 365.
- [4] M. Gai et al., *Phys. Rev. Lett.*, 51(1983), 646.
- [5] R. Piepenbring, *Phys. Rev.*, C27(1983), 2968.
- [6] C. M. Lederer, V. S. Shirley, "Tables of Isotopes", 7th ed. (Wiley, New York, 1978).
- [7] F. Iachello, A. D. Jackson, *Phys. Lett.*, 108B(1982), 151.
- [8] L. K. Peker, J. H. Hamiltonian, J. O. Rasmussen, *Phys. Rev.*, C24(1981), 1336.
- [9] 顾金南等，“第六次全国核物理会议论文集”，p. 75, 1984.

- [10] A. Arima, F. Iachello, *Ann. Phys. (N. Y.)*, a) 99(1976), 253; b) 111(1978) 201; c) 123 (1979), 468.
- [11] F. Iachello, *Phys. Rev.*, C23(1981), 2778.
- [12] R. Wybourne, "Classical Groups for Physicists", (Wiley, New York, 1974).
- [13] R. Gilmore, "Lie Groups, Lie Algebra and Some of Their Applications" (Wiley, New York, 1974).
- [14] M. Hamermesh, "Group Theory and Its Applications to Physical Problems" (Addison-Wesley, Reading, 1962).
- [15] M. Fischler, *J. Math. Phys.*, 22(1981), 637.
- [16] H. Deley and F. Iachello, *Phys. Lett.*, 131B(1983), 281.
- [17] F. Iachello, *Nucl. Phys.*, A421(1984), 97c.
- [18] J. Dukelsky et al., *Phys. Rev.*, C28(1983), 2183.

AN UNIFIED DESCRIPTION OF THE α -CLUSTERING AND COLLECTIVE EXCITATIONS IN HEAVY EVEN-EVEN NUCLEI

WU HUA-CHUAN

(Suzhou University)

ABSTRACT

In this paper, an algebraic model, $U(6) \times U(11)$, is proposed for an unified description of the quadrupole-collective motion, the α -clustering and the octupole vibration. The model's three dynamical symmetries: $SU(5)$, $SU(3)$ and $SO(6)$ are given. The spectrum of the $SU(5)$ limit is calculated and compared with the experimental data of the nucleus ^{218}Ra .